

بررسی عددی پارامترهای مؤثر بر رفتار اتصال ورق گاست به مقاطع لوله ای فولادی پر شده با بتون

میلاد ابراهیم نژاد شلمانی^{۱*}، علی راضی احمدسرایی^۲، پویا آرزومند لنگرودی^۳

-۱- دانشکده فنی و مهندسی شرق، دانشگاه گیلان، رودسر، ایران

-۲- دانشکده فنی، دانشگاه علم و فرهنگ، رشت، ایران

-۳- دانشکده فنی، دانشگاه آزاد اسلامی، واحد تهران جنوب، تهران، ایران

تاریخچه داوری:

دریافت: ۱۴۰۰/۰۹/۱۱

بازنگری: ۱۴۰۱/۰۶/۲۵

پذیرش: ۱۴۰۱/۱۱/۲۴

ارائه آنلاین: ۱۴۰۱/۱۲/۰۷

كلمات کلیدی:

اتصالات

مقاطع لوله ای فولادی پر شده با بتون

(CFST)

ورق گاست

روش اجزای محدود

گسیختگی

خلاصه: اتصال مقاطع لوله ای فولادی پر شده با بتون (Concrete Filled Steel Tube) به ورق گاست (Gusset plate) یک روش اتصال متداول است که در آن، صفحات مستقیماً به وجوده ستون جوش می‌شوند. نظر به اهمیت چگونگی توزیع تنش و ظرفیت جذب انرژی بر رفتار اتصال مذکور، در مطالعه‌ی حاضر به تحلیل عددی رفتار این اتصال تحت بارگذاری‌های مختلف پرداخته شده است. متغیرهای مورد بررسی شامل ضخامت ورق گاست، مقاومت فشاری بتون، نسبت قطر به ضخامت لوله فولادی متصل به ورق گاست و نوع بارگذاری می‌باشد. نتایج حاصل نشان می‌دهد اگر چه پر کردن مقاطع لوله ای توخالی با بتون کمانش موضعی جداری فولادی را به تعویق می‌اندازد، اما استفاده از بتون با مقاومت فشاری بیشتر همواره منجر به افزایش میزان جذب انرژی نمی‌شود، به طوری که در بسیاری از مدل‌های مورد مطالعه کاهش ظرفیت جذب انرژی ۱۸ تا ۳۰ درصدی اتفاق افتاده است. از سوی دیگر نسبت قطر به ضخامت نقش تاثیرگذاری بر میزان ظرفیت جذب انرژی اتصالات داشته و با افزایش این نسبت، ظرفیت جذب انرژی بین ۷۶ تا ۹۱ درصد کاهش می‌یابد. همچنین نحوه اعمال بار نیز بر رفتار این اتصالات مؤثر است، به نحوی که در حالت بارگذاری کششی برون محور و خمش صفحه‌ای، ظرفیت جذب انرژی در مقایسه با حالت بارگذاری کشش محوری به ترتیب ۵۳ و ۸۶ درصد کاهش یافته است. لذا می‌بایست به منظور پیش‌بینی درست از ظرفیت باربری و میزان جذب انرژی نهایی سازه، توجه لازم به این موضوع در فرآیند طراحی صورت پذیرد.

۱- مقدمه

که پر کردن مقاطع لوله ای با بتون می‌تواند به طور مؤثری ظرفیت باربری فشاری و کششی مقطع را افزایش دهد [۱-۳]. ژو^۱ و همکاران در سال ۲۰۱۹ مکانیسم انتقال بار مقاطع CFST همراه با نبیشی‌های محصور شده در بتون، تحت کشش محوری را به صورت تجربی و عددی ارزیابی نمودند [۴]. با در نظر گرفتن پارامترهای نسبت قطر به ضخامت (D/T)، نوع اتصال، و پیکربندی نبیشی‌های محصور شده، تحلیل المان محدود برای بررسی بیشتر رفتار کششی اعضای کامپوزیت انجام شد. توزیع بار، مکانیسم انتقال بار، و برهمکنش‌های بین اجزاء، یعنی لوله، بتون داخلی و نبیشی‌های محصور شده، به طور گسترده مورد ارزیابی قرار گرفت. نشان داده شد که همه این اجزا می‌توانند تحت کشش محوری به صورت هم افزا کار کنند، اگر چه نبیشی‌های محصور شده از صفحات انتهایی جدا شده بودند. روش طراحی مقاومت کششی برای عضو مورد مطالعه، بر اساس تحلیل‌های

امروزه استفاده از مقاطع لوله ای فولادی پر شده با بتون (CFST) در خرپاهای مورد استفاده در ساختمان‌ها، پل‌ها، سازه‌های دریابی و سازه‌های انتقال برق، به دلیل عملکرد بسیار خوب آن‌ها در فشار، بسیار مورد توجه قرار گرفته است. این امر به دلیل کارایی بتون داخل پروفیل‌های فولادی است که به طور قابل ملاحظه‌ای، به ویژه برای اعضای با نسبت قطر به ضخامت بالا، ظرفیت مقاومت کمانش موضعی مقاطع لوله ای جدار نازک را افزایش می‌دهد. اتصال مقاطع لوله ای فولادی پر شده با بتون به ورق اتصال (گاست پلیت)، یک روش اتصال مناسب و متداول است که در آن، صفحات مستقیماً به وجوده ستون جوش می‌شوند.

در سال‌های گذشته تحقیقات گسترده‌ای در خصوص بررسی رفتار مقاطع مرکب به ویژه مقاطع CFST انجام شده و نشان داده شده است

* نویسنده عهدهدار مکاتبات: m.ebrahimnejad@guilan.ac.ir

حقوق مؤلفین به نویسنده‌گان و حقوق ناشر به انتشارات دانشگاه امیرکبیر داده شده است. این مقاله تحت لیسانس آفرینندگی مردمی (Creative Commons License) در دسترس شما قرار گرفته است. برای جزئیات این لیسانس، از آدرس <https://www.creativecommons.org/licenses/by-nc/4.0/legalcode> دیدن فرمائید.



باید به گونه‌ای باشد که فولاد و بتن توامًا در برابری مشارکت کنند. در این زمینه نیز تحقیقات گسترده‌ای انجام شده و نشان داده شده است که مقطع CFST می‌تواند مقاومت اتصالات تحت بار فشاری یا کششی ناشی از بادبند را افزایش دهد [۹-۱۱]. ساکای^۲ و همکاران از نتایج آزمایش استانیکی اتصالات بادبند K شکل به مقاطع لوله‌ای فولادی پر شده با بتن به این نتیجه رسیدند که مقاومت نهایی نمونه‌های پر شده با بتن تقریباً دو برابر نمونه‌های بدون بتن است [۱۲]. در مطالعه‌ای Mيرقادري و بالازاده رفتار لرزه‌ای اتصال تیر فولادی به ستون CFST همراه با ورق میان گذر را بررسی نمودند [۱۳]. در اتصال پیشنهاد شده چون مفصل پلاستیک می‌تواند در فاصله‌ای از بر ستون تشکیل گردد و اجزای اتصال در وضعیت الاستیک باقی بمانند، از این رو بعد از وقوع زلزله آسیبی به ناحیه اتصال وارد نمی‌گردد و تنها خرابی‌ها در تیر و در خارج از محدوده اتصال روی می‌دهد.

چن^۳ و همکاران در سال ۲۰۱۷ تحقیقات تجربی بر روی اتصال لوله‌ای فولادی پر شده با بتن به ورق اتصال با در نظر گرفتن لاغری (نسبت قطر به ضخامت) مختلف برای نمونه‌های آزمایشی ارائه نمودند [۱۴]. سه شرایط بارگذاری مختلف، از جمله کشش محوری، کشش خارج از مرکز و خمش درون صفحه بر روی نمونه‌ها اعمال شد. مشاهده گردید که شکست بر سطح پانچ عضو CFST حالت اصلی شکست می‌باشد. همچنین توصیه شد که سهم بتن در طراحی در نظر گرفته شود، زیرا می‌تواند به طور موثر تغییر شکل عضو CFST را مهار کند.

ژو^۴ و همکاران در سال ۲۰۱۸ رفتار مکانیکی اتصال طولی ورق اتصال به مقطع توخالی دایره‌ای پر شده با بتن تحت کشش محوری، کشش خارج از مرکز و خمش درون صفحه را به کمک تحلیل المان محدود مورد مطالعه قرار دادند [۱۵]. طیف وسیعی از پارامترهای مربوط به پیکربندی هندسی، خواص مواد و موقعیت‌های بار برای بررسی حالت حدی حاکم و مشخصات تنش بر سطح در شکست صورت گرفت. مدل ارائه شده نشان داد که تنها حالت حدی حاکم، شکست بر سطح پانچ است.

تجربی و عددی بر روی مکانیسم انتقال بار و برهمنشی‌های اجزا پیشنهاد شد. مقایسه بین پیش‌بینی‌های محاسبه شده و نتایج حاصل از آزمایش‌ها و شبیه‌سازی‌ها نشان داد که روش طراحی پیشنهادی دقیق و قابل اعتماد است.

ژو^۱ و همکاران در سال ۲۰۲۱ به صورت تجربی و عددی، اعمال بار و انتقال برش را در اعضای لوله فولادی پر شده با بتن (CFST) با عضو فولادی محصور در بتن با اتصالات برشی را بررسی نمودند [۵]. اثرات لاغری مقطع، پیکربندی نسبی، طول ستون در بالا و پایین اتصال، و انواع صفحه تقویت کننده داخلی مورد ارزیابی قرار گرفت. یک رویکرد طراحی برای مکانیسم انتقال پیوستگی مستقیم پیشنهاد گردید و نشان داده شد که رویکرد پیشنهادی می‌تواند مقاومت پیوستگی را در سطح مشترک لوله فولادی و بتن پر کننده با دقت معقولی پیش‌بینی کند.

پاچیده و همکاران با هدف مطالعه عملکرد ستون‌های لوله‌ای فولادی دو پوسته با بتن دارای هندسه منشوری، چند نمونه ستون با مقطع داخلی مربعی، لوزی شکل و دایره‌ای و همچنین مقطع بیرونی مربع شکل مورد بررسی قرار دادند [۶]. بر اساس نتایج، حالت شکسته ستون‌های با مقطع داخلی مربع یا لوزی شکل مشابه است، اما نمونه‌هایی با مقطع دایره‌ای آسیب شدیدتری متحمل شدند. علاوه بر این، نسبت سختی و شکل پذیری نمونه‌های اولیه، که بخش‌های داخلی آن‌ها به شکل لوزی است، بیشتر از نمونه‌های دیگر بود. پاچیده و همکاران همچنین تاثیر افزایش دما بر عملکرد ستون‌های فولادی لوله‌ای دو پوسته پر شده با بتن با هندسه منشوری و دارای مقاطع مختلف را نیز بررسی کردند [۷]. مشابه قبل نتایج نشان داد که ستون‌ها با هسته داخلی دایره‌ای آسیب‌های شدیدتری را نسبت به بقیه تجربه می‌نمایند. رنجبری و عابدی نیز در مطالعه‌ای به بررسی عددی رفتار ستون‌های CFST تقویت شده با سخت کننده و ساخته شده از بتن با مقاومت بالا در برابر آتش پرداختند [۸]. در این تحقیق تاثیر پارامترهایی همچون لاغری و سطح بار اعمالی و فاکتور سطح بر مقاومت آتش ستون‌ها، همچنین اثر خروج از مرکزیت بار در مقاومت ستون‌ها با مقطع مدور و بیضوی بررسی شد.

از جمله موارد تعیین کننده در رفتار ستون‌های CFST، رفتار اتصالات اعضاًی نظیر مهاربندها به این ستون‌هاست. اتصال ایجاد شده

2 Sakai
3 Chen
4 Xu

توجه به این متغیرها در ابتدا مجموعاً ۱۲ مدل اجزای محدود اتصال به CFST تحت بار محوری کششی شبیه‌سازی و تحلیل می‌شوند و بهینه‌ترین حالت به لحاظ ظرفیت برابری و میزان جذب انرژی انتخاب می‌گردد. در مرحله‌ی بعد و به منظور بررسی تأثیر نوع بارگذاری، اتصال بهینه‌ی انتخاب شده، تحت بارهای کششی بروز محور و خمس صفحه‌ای مجدداً تحلیل می‌گردد.

ساختار مقاله حاضر بدین‌گونه است که در ادامه، در بخش دوم نحوه مدل‌سازی اجزای محدود شامل شبکه‌بندی، تعریف خصوصیات مصالح فولادی و بتنی و اندرکنش بین آن‌ها و همچنین شرایط مرزی ارائه شده و در نهایت اعتبارسنجی با کار آزمایشگاهی صورت می‌گیرد. در بخش سوم، یک مطالعه پارامتری با در نظر گرفتن متغیرهایی نظیر ضخامت ورق اتصال، مقاومت مشخصه فشاری بتن و نسبت قطر به ضخامت لوله فولادی پر شده با بتن صورت گرفته و نتایج آن به صورت کانتورهای تنش و منحنی بار-تغییر مکان ارائه می‌گردد. در بخش چهارم، تفسیر نتایج با در نظر گرفتن هر یک از متغیرهای مورد بررسی ارائه شده و در پایان، در بخش پنجم یک نتیجه‌گیری از تحقیق انجام شده صورت می‌گیرد.

۲- مدل‌سازی عددی و اعتبارسنجی

۲-۱- معرفی نمونه آزمایشگاهی مربوط

یکی از مهم‌ترین مراحل مربوط به تحلیل‌های عددی، بررسی اعتبار نتایج حاصل از آن‌ها از طریق مقایسه با نتایج تجربی و آزمایشگاهی می‌باشد. در پژوهش حاضر، صحت‌سنجی نتایج عددی با نتایج مطالعه‌ی آزمایشگاهی انجام شده توسط ژو^۱ و همکاران [۱۹] که در شکل ۱ نشان داده شده است صورت پذیرفت. در مطالعه‌ی آزمایشگاهی ژو و همکاران، اتصالات مختلفی مورد بررسی قرار گرفته است که از بین آن‌ها مدل T-۳۰۰-AX^۲ برای صحت‌سنجی انتخاب گردید. مشخصات هندسی این مدل در جدول ۱ ارائه شده است.

۲-۲- مدل‌سازی و شبکه‌بندی

برای مدل‌سازی از نرم افزار اجزای محدود ABAQUS استفاده گردید. المان‌های سازه‌ای مورد نظر در این پژوهش شامل بتن، مقاطع لوله‌ای فولادی، ورق گاست و نبشی‌های اتصال می‌باشند. این

لی^۳ و همکاران در سال ۲۰۱۸ یکی از اتصالات معمول در اعضای لوله‌ای فولادی، یعنی اتصال KT لوله به ورق گاست که توسط حلقه سخت شده است را مورد مطالعه قرار دادند [۱۶]. آن‌ها یک فرمول طراحی برای جبران ضعف آیینه‌های طراحی ارائه نمودند که بر اساس تئوری خط تسلیم می‌باشد.

چانگ^۴ و همکاران در سال ۲۰۱۸ برای ارزیابی تأثیر صفحه داخلی عمودی تقویت کننده بر رفتار فشاری اتصالات مقطع توخالی مربعی (SHS)، چهار اتصال T با و بدون چنین تقویت کننده‌ای به صورت تجربی و شبیه‌سازی عددی مورد آزمایش قرار دادند [۱۷]. نتایج آزمایش نشان می‌دهد که صفحه داخلی عمودی برای افزایش مقاومت فشاری اتصالات مذکور مؤثر است، اما با افزایش نسبت عرض بین مهاربند و عضو SHS، کارآیی تقویت کننده کاهش می‌یابد. در همین حال، وجود صفحه داخلی عمودی تأثیر کمی بر توزیع کرنش و حالت شکست اتصال دارد.

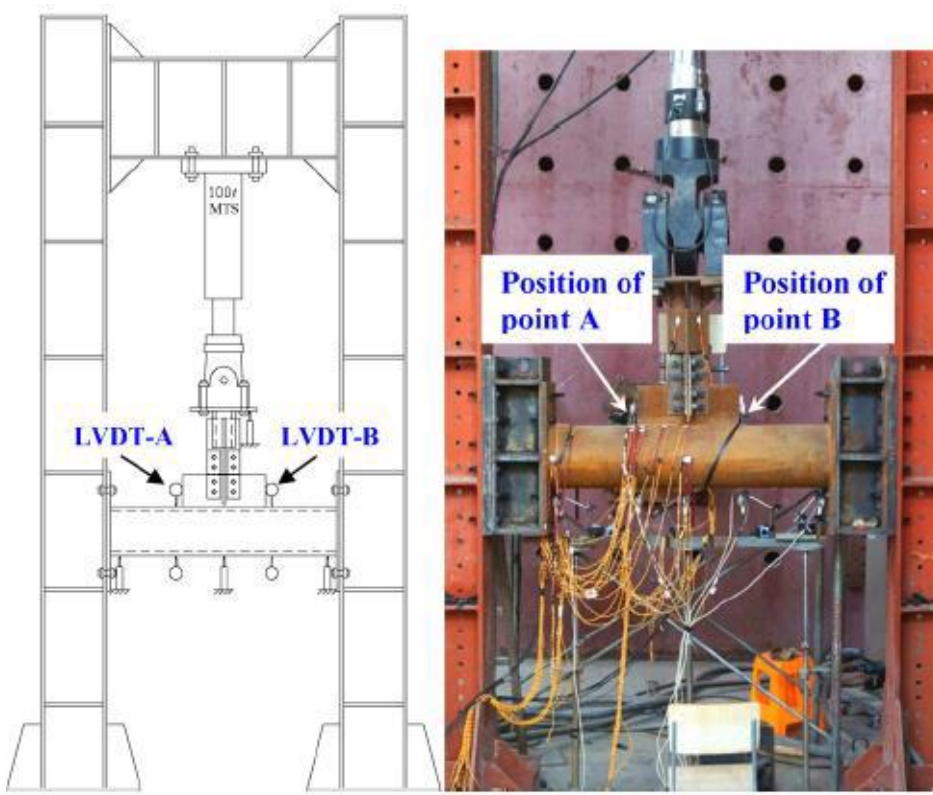
در سال ۲۰۲۲، سونگ^۵ و همکاران رفتار مکانیکی اتصالات K و KK به مقطع دایره‌ای پر شده با بتن (CHS) را به صورت تجربی و عددی ارزیابی نمودند [۱۸]. سه اتصال K و KK پر شده با بتن در مقیاس بزرگ مورد آزمایش قرار گرفتند. بر اساس مدل‌های توسعه یافته، مطالعه پارامتری برای بررسی تأثیر دو جفت مهاربند K و نیروی فشاری محوری عضو CHS بر توزیع تنش برشی پانچ و مقاومت نهایی انجام شد. نتایج تجربی و عددی هر دو نشان دادند که گسیختگی اتصال CHS پر شده با بتن به صورت شکست برشی پانچ بر روی دیواره عضو CHS نزدیک نوک جوش می‌باشد. اندرکنش بین دو جفت K باید در طراحی مقاومت در نظر گرفته شود و سطح بار فشاری عضو CHS باید کنترل شود تا از وقوع حالت شکست ترکیبی جلوگیری گردد.

با توجه به پژوهش‌های پیشین و کمبود ضوابط طراحی برای اتصال لوله فولادی پر شده با بتن به ورق اتصال، در این تحقیق با مدل‌سازی اجزای محدود، این موضوع مورد توجه قرار می‌گیرد و پارامترهای تأثیرگذار بر طراحی این اتصالات بررسی می‌شود. متغیرهای مورد بررسی شامل ضخامت ورق اتصال، مقاومت مشخصه فشاری بتن، نسبت قطر به ضخامت ورق اتصال، مقاومت مشخصه فشاری بتن، CFST متعلق به ورق گاست می‌باشند. با

1 Li

2 Chang

3 Song



شکل ۱. تنظیمات آزمایش برای نمونه‌های تحت کشش محوری در مطالعه زو و همکاران [۱۹]

Fig. 1. Test setup for specimens subjected to axial tension in Xu et al. research [19].

۲-۳-۲-مشخصات بتن

در این مطالعه برای تعریف بتن، از مدل آسیب پلاستیک بتن (CDP) استفاده شده است. داده‌های مورد نیاز برای تعریف این مدل در نرم افزار آباکوس در جدول ۳ نمایش داده شده است. ضریب پوآسون و چگالی بتن $\frac{N}{mm^2}$ به ترتیب 0.2 و 400.2 در نظر گرفته شده است.

علاوه بر ضرایب فوق، منحنی تنش-کرنش بتن نیز باید معرفی گردد که با توجه به محصور شدنگی^۱ بتن توسط لوله فولادی، نیاز به تعریف منحنی تنش-کرنش برای بتن محصور شده می‌باشد. با توجه به شکل ۳ که در آن منحنی تنش-کرنش برای بتن محصور شده و محصور نشده^۲ ارائه شده است، رابطه تنش-کرنش بتن محصور شده

المان‌ها به صورت سه بعدی و از نوع Solid و Deformable مدل شده و در نهایت سرهمندی شده‌اند. در این تحلیل از المان C3D8R برای مدل‌سازی استفاده گردیده است و بر اساس آنالیز حساسیت شبکه‌بندی صورت گرفته، شبکه‌بندی مطابق شکل ۲ به عنوان شبکه‌بندی نهایی انتخاب گردید.

۲-۳-۳- خصوصیات مصالح

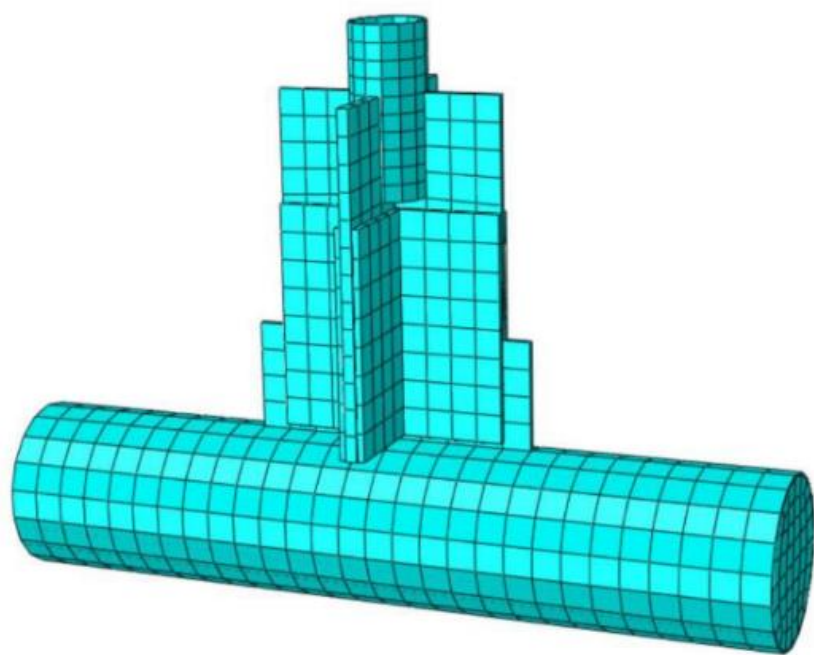
۲-۳-۱- مشخصات فولاد

مشخصات ستون، بادیند و ورق گاست که از اعضای فولادی مدل جهت صحبت‌سنگی هستند، در جدول ۲ آورده شده است. در این تحقیق برای مدل‌سازی مصالح فولادی از رفتار پلاستیک کامل استفاده می‌شود.

1 Concrete Damaged Plasticity

2 Confined

3 Unconfined



شکل ۲. شبکه بنده انتخاب شده برای مدل مورد مطالعه

Fig. 2. Meshing selected for the studied model.

جدول ۲. مشخصات مکانیکی مقاطع فولادی مدل T-300-4AX در مطالعه ژو و همکاران [۱۹]

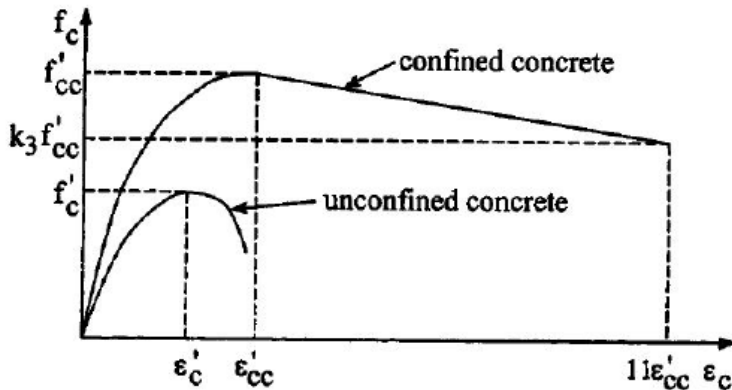
Table 2. Mechanical properties of T-300-4AX in Xu et al. research [19].

عضو	ضخامت اسمی (میلی‌متر)	F _y (مگاپاسکال)	F _u (مگاپاسکال)	E (مگاپاسکال)	ε _u %
Q235 (ستون)	۴	۲۶۹	۳۸۵	$۲/۰۴ \times 10^5$	۳۲/۶
Q345 (بادیند)	۶	۳۳۰	۴۸۵	$۱/۹۹ \times 10^5$	۳۴/۰
Q345 (ورق گاست)	۱۲	۴۰۵	۵۰۵	$۲/۰۴ \times 10^5$	۳۴/۹

جدول ۳. مشخصات مصالح بتنی معرفی شده به نرم افزار [۲۰]

Table 3. Specifications of concrete material introduced to the software [20].

Dilation Angle	Eccentricity	F _{b0} /F _{c0}	K	Viscosity Parameter
۳۰/۵	۰/۱	۱/۱۶	۰/۶۶۶	۰/۰۰۱



شکل ۳. منحنی تنش-گرنش معادل برای بتن محصور نشده و محصور شده [۲۳]

Fig. 3. Stress-strain curves for unconfined and confined concrete [23].

ترتیب برابر $4/1$ و $20/5$ در نظر گرفته می‌شوند [۲۲]. پارامتر f_l نیز فشار محصور کننده در اطراف هسته بتونی بوده و برای ستون فلزی دایره‌ای پر شده با بتون با استفاده از روابط تجربی زیر به دست می‌آید:

: [۲۳]

$$\left| \begin{array}{l} \frac{f_l}{f_y} = 0.043646 - 0.000832 \left(\frac{D}{t} \right) \\ \text{for } 21.7 \leq \frac{D}{t} \leq 47 \\ \frac{f_l}{f_y} = 0.006241 - 0.0000357 \left(\frac{D}{t} \right) \\ \text{for } 47 \leq \frac{D}{t} \leq 150 \end{array} \right. \quad (4)$$

به سه ناحیه تقسیم می‌شود. بخش اول منحنی، ناحیه‌ای است خطی با حداقل تنش $0.5f'_{cc}$ و مدول الاستیسیتیه E_c که با استفاده از رابطه زیر محاسبه می‌شود:

$$E_c = 4700\sqrt{f'_{cc}} \text{ MPa} \quad (1)$$

که f'_{cc} مقاومت فشاری بتن محصور شده می‌باشد که با استفاده از رابطه زیر محاسبه می‌شود [۲۱]:

$$f'_{cc} = f'_c + k_1 f_l \quad (2)$$

که f'_c ، D و t به ترتیب نشان دهنده تنش تسلیم، قطر و ضخامت لوله فولادی می‌باشند.

گرنش متناظر در بتن محصور شده نیز با استفاده از رابطه زیر تعیین می‌شود [۲۱]:

$$\left| \varepsilon'_{cc} = \varepsilon'_c \left(1 + k_2 \frac{f_l}{f'_c} \right) \right. \quad (3)$$

$$f_c = \frac{E_c \varepsilon_c}{1 + (R + R_E - 2) \left(\frac{\varepsilon_c}{\varepsilon'_{cc}} \right) - (2R - 1) \left(\frac{\varepsilon_c}{\varepsilon'_{cc}} \right)^2 + R \left(\frac{\varepsilon_c}{\varepsilon'_{cc}} \right)^3} \quad (5)$$

در روابط فوق f'_c و ε'_c (برابر $0/0/0/3$) به ترتیب بیانگر مقاومت فشاری و گرنش بتن در حالت محصور نشده می‌باشند. پارامترهای k_1 و k_2 ثابت‌هایی هستند که با توجه به نتایج آزمایشگاهی به

که:

امکان حرکت نسبی بین سطوح دو ماده را حتی زمانی که به هم چسبیده‌اند نیز فراهم می‌کند. ضریب اصطکاک مورد استفاده در این بخش 0.25 می‌باشد. علاوه بر این، تماس عمودی^۱ بین دو ماده نیز با استفاده از اصطکاک (با ضریب اصطکاک 0.5) ایجاد می‌گردد که در آن، سطح داخلی لوله فولادی به عنوان سطح پیرو^۲ در نظر گرفته می‌شود. تماس سخت^۳ ایجاد شده بین دو سطح باعث می‌گردد فشار از دو سطح فقط در صورت وجود تماس واقعی بین آن‌ها منتقل شود و در عین حال باعث جدا شدن سطوح تحت تأثیر نیروی کششی می‌شود. در نهایت با تعریف رفتار تماس مماسی و عمودی، سطوح تماس بین فولاد و بتون می‌توانند نسبت به هم لغزیده و جدا شوند، اما مجاز به نفوذ در داخل یکدیگر نیستند.

۴-۲- شرایط مرزی و نوع تحلیل

برای تحلیل مدل‌های مورد بررسی از تحلیل استاتیکی غیرخطی استفاده شده است. شرایط مرزی مورد استفاده در شبیه‌سازی اتصالات با این هدف می‌باشد که بتوان شرایط مربوط به رفتار این اتصالات تحت بارگذاری کششی مورد بررسی قرار داد. بار اعمال شده به صورت تدریجی (جایه‌جایی کنترل) و با گام زمانی 0.1 ثانیه به مدل‌های مورد بررسی تا لحظه‌ی گسیختگی اعمال گردید.

۴-۳- اعتبارستجوی

پس از شبیه‌سازی و تحلیل مدل T-۳۰۰-AX-۴، نمودار بار-جایه‌جایی مدل‌های آزمایشگاهی و عددی مطابق شکل ۴ و جدول ۴ با هم مقایسه گردید. با توجه به منحنی بار-جایه‌جایی نشان داده شده، مشاهده می‌شود که مطابقت قابل قبولی بین نتایج مدل‌سازی عددی و نتایج آزمایشگاهی وجود دارد. اختلاف اندکی که در میزان سختی اولیه و جذب انرژی مدل عددی نسبت به نمونه آزمایشگاهی وجود دارد ناشی از ایده‌آل‌سازی‌های صورت گرفته در مدل‌سازی به ویژه در مدل‌سازی جوش‌های اتصال می‌باشد.

$$R = \frac{R_E(R_\sigma - 1)}{(R_\varepsilon - 1)^2} - \frac{1}{R_\varepsilon} \quad , \quad R_E = \frac{E_c \varepsilon'_{cc}}{f'_{cc}} \quad (6)$$

در روابط فوق، $R_\sigma = 4$ و $R_\varepsilon = 4$ در نظر گرفته می‌شوند [۲۵].

رابطه (۵) برای حالتی که $\varepsilon'_{cc} \leq \varepsilon_c$ باشد برقرار است. در حالتی که $\varepsilon'_{cc} > \varepsilon_c$ باشد، بخش سوم منحنی تنش-کرنش شکل ۳ که خطی نزولی بوده و بیانگر رفتار نرم شوندگی بتون است شکل می‌گیرد. اگر ضریب k_3 به عنوان پارامتر زوال مصالح تعریف شود، بخش نرم شوندگی منحنی در نقطه‌ای که تنش و کرنش آن به ترتیب $f'_c = k_3 f_{cc}$ و $f_c = 11 \varepsilon'_{cc}$ هستند پایان می‌یابد.

ضریب k_3 برای ستون فلزی دایره‌ای پر شده با بتون با استفاده از روابط تجربی زیر به دست می‌آید [۲۳]:

$$k_3 = 1$$

$$\text{for } 21.7 \leq \frac{D}{t} \leq 47$$

$$k_3 = 0.0000339 \left(\frac{D}{t} \right)^2 - 0.010085 \left(\frac{D}{t} \right) + 1.3491 \quad (7)$$

$$\text{for } 47 \leq \frac{D}{t} \leq 150$$

۴-۴- اندرکشن فولاد و بتون

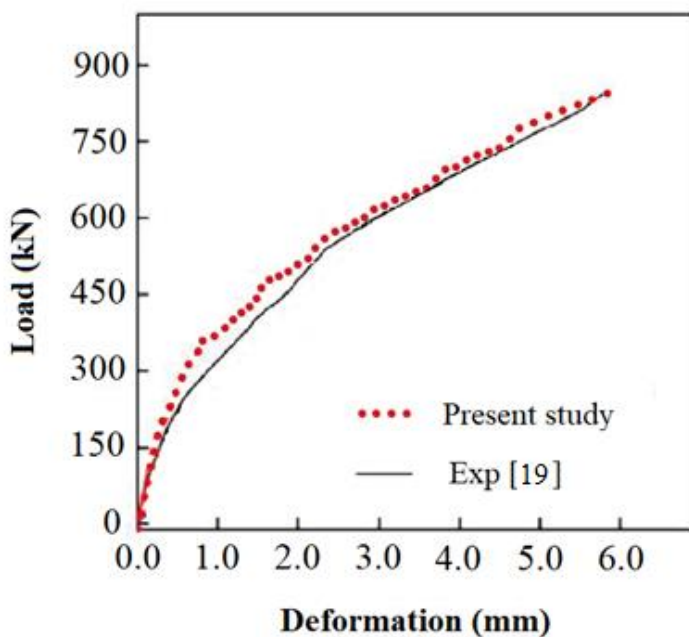
به منظور استفاده از مزایای ستون‌های CFST، می‌بایست لوله فولادی و هسته بتونی به صورت یک عضو واحد عمل نمایند. لذا مدل‌سازی درست اندرکشن فولاد و بتون برای اعمال محدودیت‌های اصطکاکی، یکی از مهم‌ترین فاکتورها در مدل‌سازی اعضای مرکب به شمار می‌رود. برای این منظور، تماس سطح به سطح با رفتار مماسی^۱ بین لوله فولادی و هسته بتونی با استفاده از روش پنالتی (که به عنوان روش سختی هم شناخته می‌شود) ایجاد می‌شود. این روش سختی

2 Normal

3 Slave

4 Hard contact

1 Tangential behavior



شکل ۴. مقایسه مقادیر بار-جابه‌جایی مدل عددی و آزمایشگاهی

Fig. 4. Comparison of load-deformation curves obtained from experimental and numerical works.

جدول ۴. مقایسه نتایج مدل نرم‌افزاری با نمونه آزمایشگاهی

Table 4. Comparison of results obtained from the numerical model with the experimental work.

مطالعه آزمایشگاهی [۱۹]	جذب انرژی (J)	حداکثر نیرو (kN)	سختی اولیه (kN/mm)
۳۳۱۰/۷۸	۸۴۷	۶۹۵	۳۴۴۴/۴۵
تحقيق حاضر	۸۴۵	۷۴۶	۰/۲
اختلاف	۴ درصد کاهش	۷ درصد افزایش	۴۰ درصد افزایش

باربری و میزان جذب انرژی انتخاب می‌گردد. در مرحله‌ی بعدی و به منظور بررسی نوع بارگذاری، اتصال بهینه‌ی انتخاب شده، تحت بارهای کششی برون محور و خمش صفحه‌ای مجدداً تحلیل می‌شود. حالتهای اشاره شده در جدول ۵ نشان داده شده‌اند. پس از تحلیل مدل‌های اتصالات مورد بررسی، نتایج حاصل از آن‌ها در قالب خروجی‌های توزیع کرنش، توزیع تنش، جابه‌جایی کلی و نمودار بار جابه‌جایی ارائه شده و مورد تجزیه و تحلیل قرار خواهد گرفت. در این نمودارها نیروی محوری بر حسب نیوتن، تنش فون میز بر حسب پاسکال و جابه‌جایی بر حسب متر می‌باشند.

۳- مطالعه پارامتری

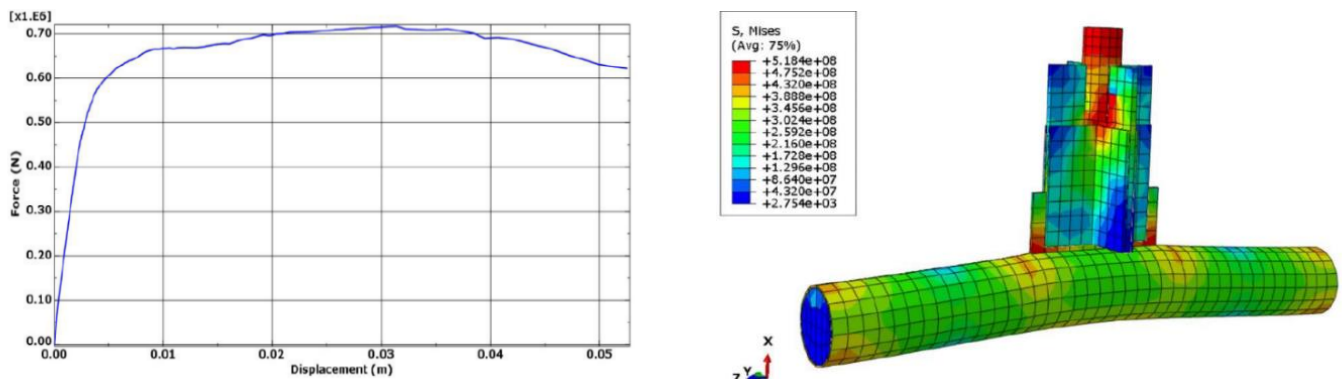
در این بخش به منظور بررسی عوامل مؤثر بر رفتار اتصال ستون لوله‌ای فولادی پر شده با بتن به ورق اتصال، یک مطالعه پارامتری با در نظر گرفتن متغیرهایی نظیر ضخامت ورق اتصال (۱۱ و ۱۴ میلی‌متر)، مقاومت مشخصه فشاری بتن (۴۰، ۴۵، ۵۰ مگاپاسکال) و نسبت قطر به ضخامت لوله فولادی پر شده با بتن (۵۰ و ۷۰) صورت می‌گیرد.

با توجه به این متغیرها، در ابتدا ۱۲ مدل اجزای محدود اتصال ستون لوله‌ای فولادی پر شده با بتن تحت بار محوری کششی شبیه‌سازی و تحلیل می‌شوند و بهترین حالت به لحاظ ظرفیت

جدول ۵. معرفی حالت‌های مورد بررسی در مطالعه حاضر

Table 5. Introducing the models investigated in the present study.

عبارت اختصاری	ضخامت ورق اتصال (t) (میلی‌متر)	مقاومت مشخصه بتن (مگاپاسکال) (f_c)	D/t	حالت
Dt50 f40 t11	۱۱	۴۰		۱
Dt50 f40 t14	۱۴	۴۰		۲
Dt50 f45 t11	۱۱	۴۵		۳
Dt50 f45 t14	۱۴	۴۵	۵۰	۴
Dt50 f50 t11	۱۱	۵۰		۵
Dt50 f50 t14	۱۴	۵۰		۶
Dt70 f40 t11	۱۱	۴۰		۷
Dt70 f40 t14	۱۴	۴۰		۸
Dt70 f45 t11	۱۱	۴۵		۹
Dt70 f45 t14	۱۴	۴۵	۷۰	۱۰
Dt70 f50 t11	۱۱	۵۰		۱۱
Dt70 f50 t14	۱۴	۵۰		۱۲



شکل ۵. خروجی‌های مربوط به مدل Dt50 f40 t11

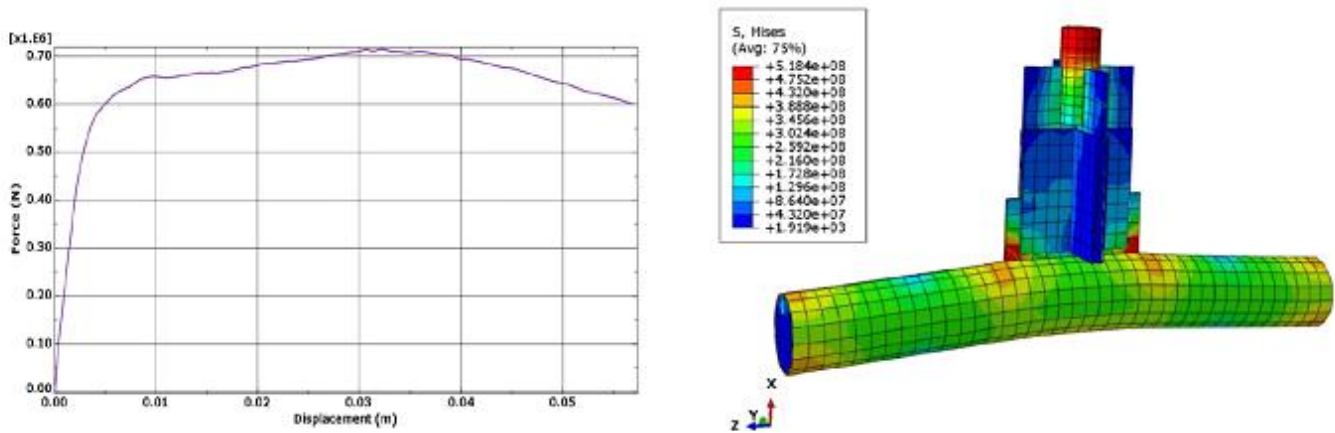
Fig. 5. Results of Dt50 f40 t11 model.

به تحلیل و بررسی اثرگذاری هر یک از متغیرهای مورد مطالعه پرداخته می‌شود. برای تمام مدل‌های مورد بررسی در این مطالعه، ابتدا ترک‌های اولیه بین انتهای ورق گاست و دیواره لوله ایجاد گردیده و پس از افزایش بار، وقتی بار به ۸۵ تا ۹۰ درصد مقاومت نهایی می‌رسد، یک خط تسليم روی لوله و در اطراف محل اتصال به ورق گاست به وجود می‌آید و در نهایت یک شکست ناگهانی با ایجاد ترک‌های گسیختگی در امتداد ورق گاست رخ می‌دهد.

۳- نتایج تحلیل در شکل‌های ۵ تا ۱۶ خروجی‌های مربوط به مدل‌های اجزای محدود اتصال ورق گاست به ستون CFST ارائه گردیده است. این خروجی‌ها شامل کانتور تنش فون میزس و منحنی بار-تغییر مکان می‌باشند که در ادامه مورد بررسی قرار می‌گیرند.

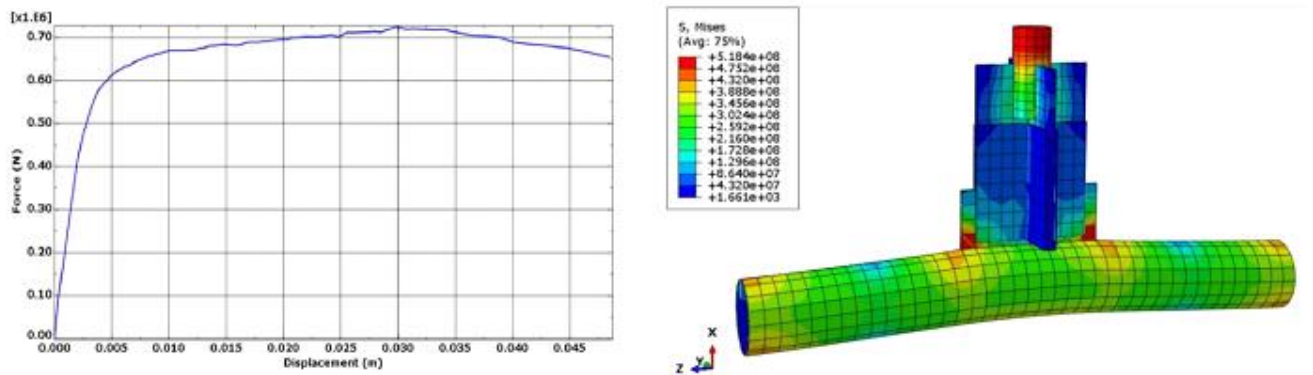
۴- تحلیل نتایج

در این قسمت با توجه به کانتورها و نمودارهای بخش قبل،



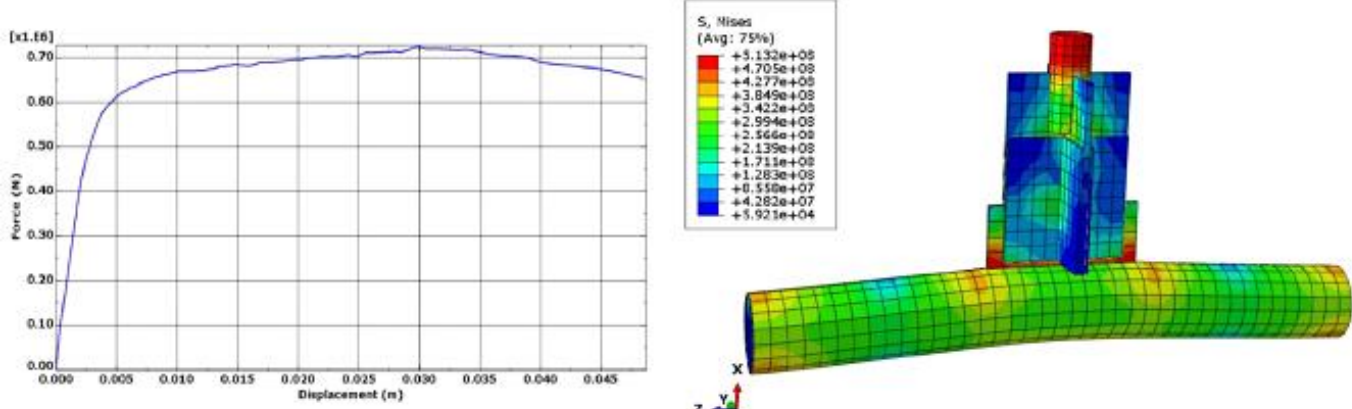
شکل ۶. خروجی‌های مربوط به مدل Dt50 f40 t14

Fig. 6. Results of Dt50 f40 t14 model.



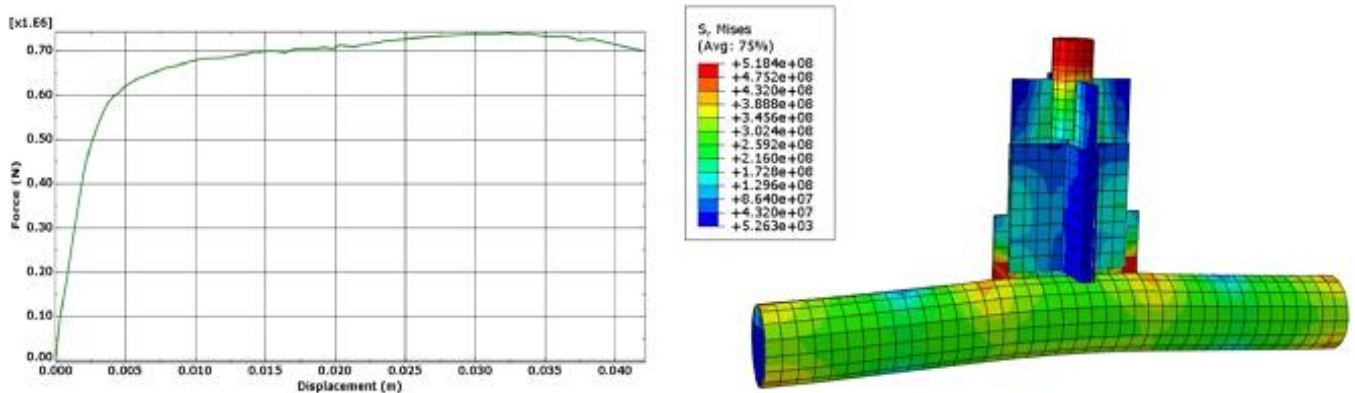
شکل ۷. خروجی‌های مربوط به مدل Dt50 f45 t11

Fig. 7. Results of Dt50 f45 t11 model.



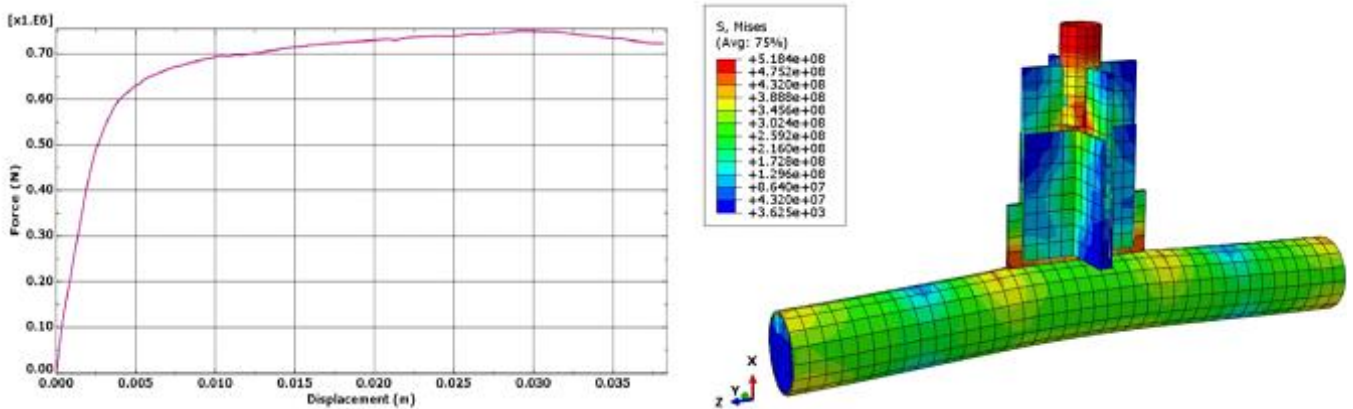
شکل ۸. خروجی‌های مربوط به مدل Dt50 f45 t14

Fig. 8. Results of Dt50 f45 t14 model.



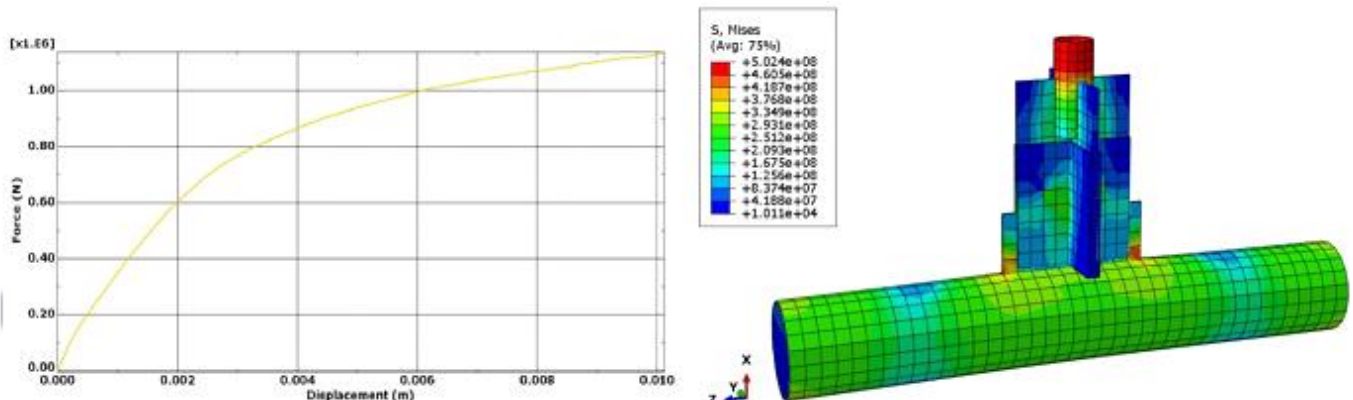
شکل ۹. خروجی‌های مربوط به مدل Dt50 f50 t11

Fig. 9. Results of Dt50 f50 t11 model.



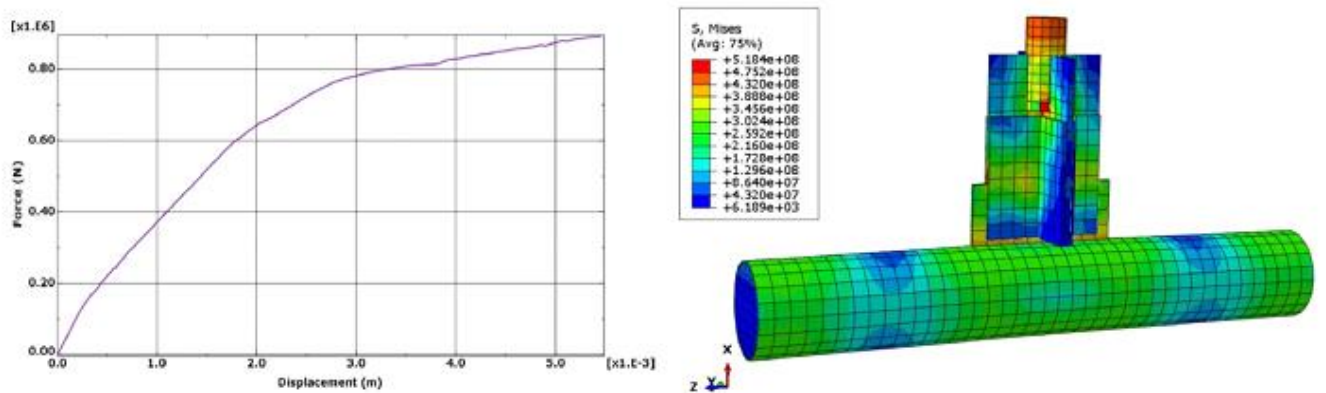
شکل ۱۰. خروجی‌های مربوط به مدل Dt50 f50 t14

Fig. 10. Results of Dt50 f50 t14 model.



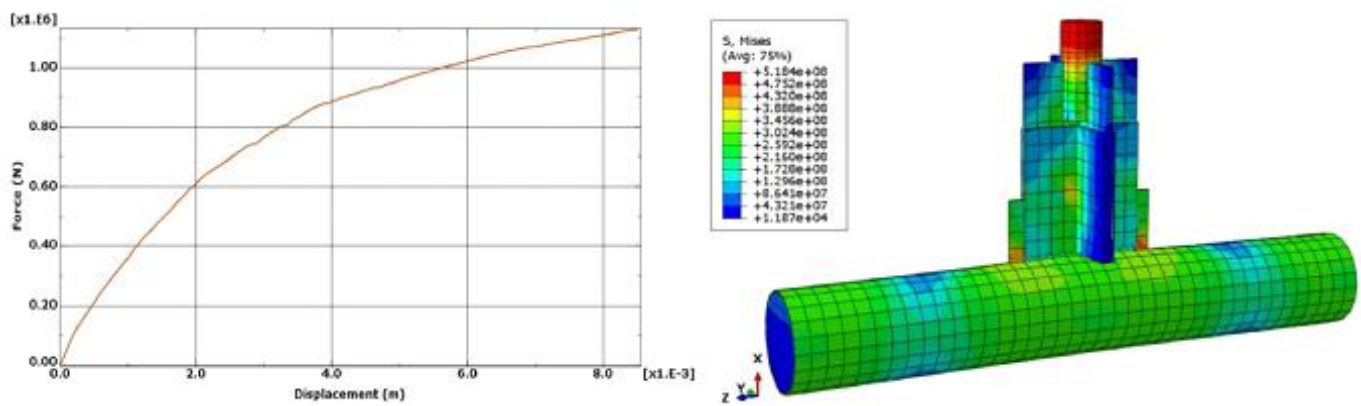
شکل ۱۱. خروجی‌های مربوط به مدل Dt70 f40 t11

Fig. 11. Results of Dt70 f40 t11 model.



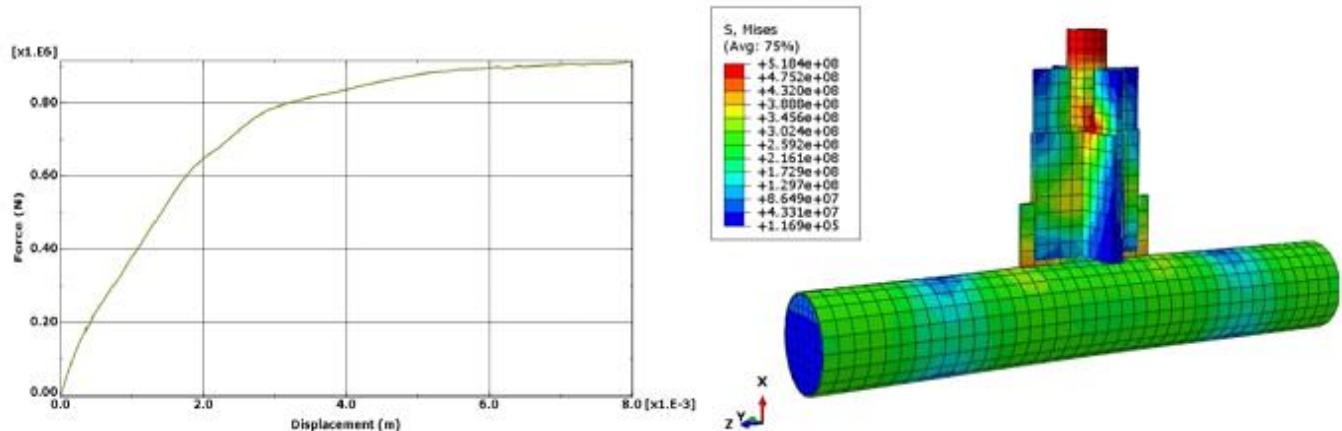
شکل ۱۲. خروجی‌های مربوط به مدل Dt70 f40 t14

Fig.12. Results of Dt70 f40 t14 model.



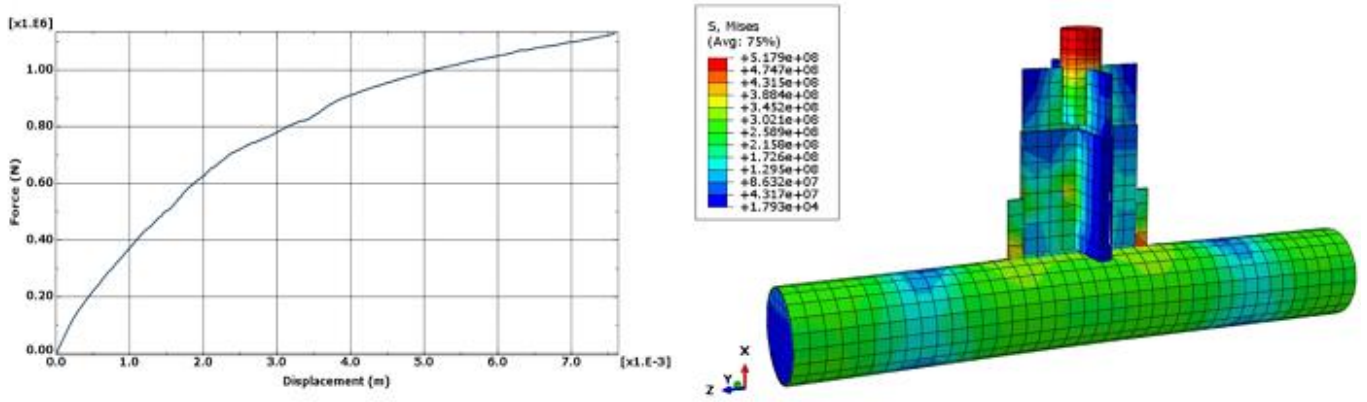
شکل ۱۳. خروجی‌های مربوط به مدل Dt70 f45 t11

Fig. 13. Results of Dt70 f45 t11 model.



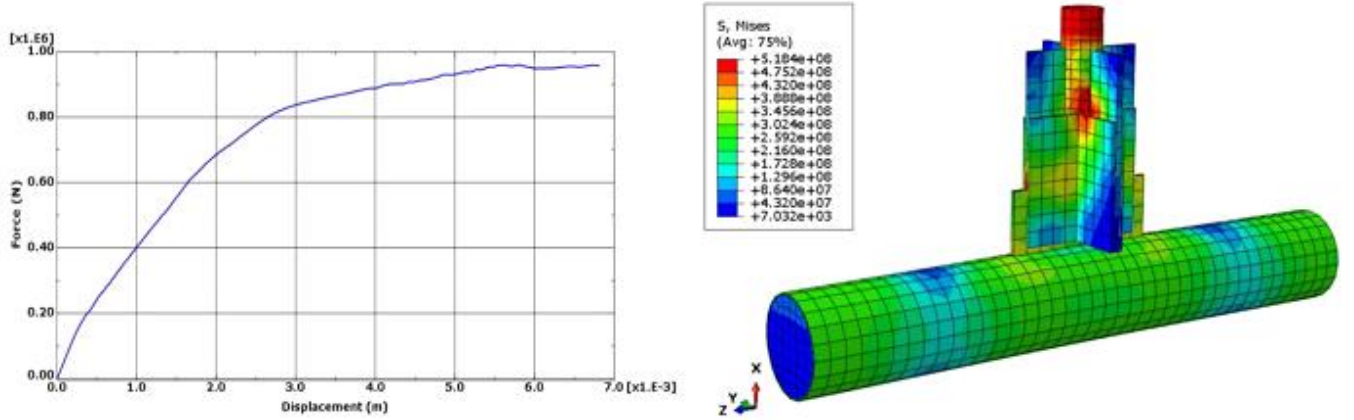
شکل ۱۴. خروجی‌های مربوط به مدل Dt70 f45 t14

Fig. 14. Results of Dt70 f45 t14 model.



شکل ۱۵. خروجی‌های مربوط به مدل Dt70 f50 t11

Fig. 15. Results of Dt70 f50 t11 model.



شکل ۱۶. خروجی‌های مربوط به مدل Dt70 f50 t14

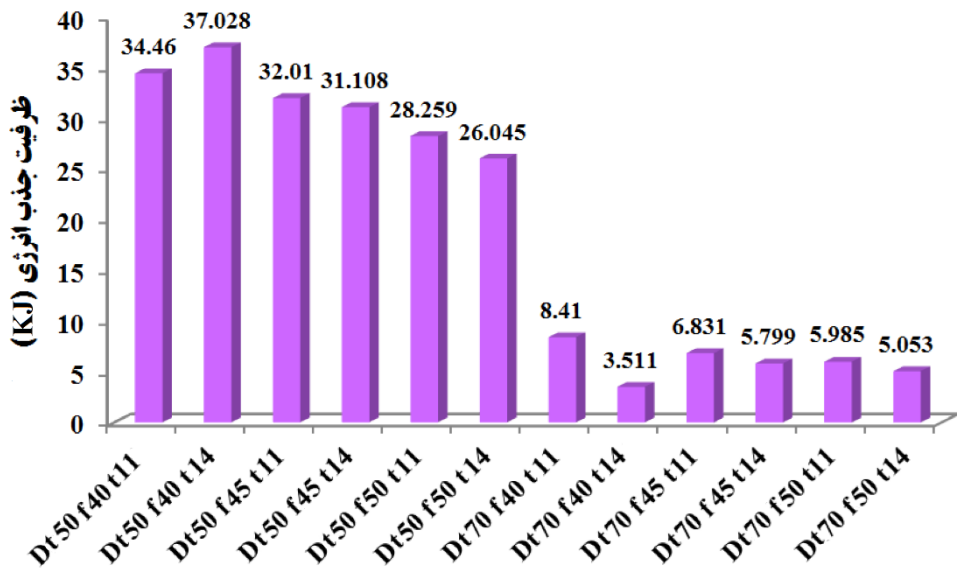
Fig. 16. Results of Dt70 f50 t14 model.

افزایش می‌یابد، می‌توان گفت علت عدم تسليم لوله فولادی در حالت $t=70=D/t$ (برخلاف حالت $t=50=D/t$)، افزایش پارامتر لاغری می‌باشد که باعث می‌شود لوله فولادی به علت کمانش موضعی نتواند به حد اکثر ظرفیت خود برسد.

در ادامه مقایسه‌ای بین مدل‌های مختلف با توجه به میزان جذب انرژی (مساحت زیر نمودار بار-تغییرمکان) اتصال ستون CFST به ورق گاست صورت می‌گیرد.

همانطور که در شکل ۱۷ مشاهده می‌گردد، از بین ۱۲ مدل اجزای محدود اتصال ورق گاست به ستون CSFT که تحت کشش محوری قرار گرفته‌اند، میزان ظرفیت جذب انرژی در حالتی که در آن ضخامت ورق اتصال ۱۴ میلی‌متر، مقاومت مشخصه فشاری بتن

در ابتدا با بررسی کانتورهای تنش فون میزس می‌توان گفت که به طور کلی برای مدل‌های تحت کشش محوری، خرابی در اثر برش پانچ لوله فولادی رخ داده و به شکل گسیختگی لوله فولادی در امتداد محل اتصال با ورق گاست ظهرور می‌کند. البته در مدل‌های با نسبت D/t برابر ۷۰ (شکل‌های ۱۱ تا ۱۶) گسیختگی به طور عمده در در دو انتهای ورق گاست متتمرکز بوده و قسمت‌های میانی تنش‌های کمتری را تجربه می‌کنند. همچنین برای مدل‌های با نسبت D/t برابر ۵۰ (شکل‌های ۵ تا ۱۰)، علاوه بر تسليم محل اتصال ورق گاست با لوله فولادی، اثراتی از تسليم روی لوله فولادی (در امتداد نقاط انتهایی ورق گاست) نیز مشاهده می‌شود. با توجه به اینکه با افزایش نسبت قطر به ضخامت لوله فولادی امکان وقوع کمانش موضعی در آن



شکل ۱۷. میزان جذب انرژی در مدل‌های مورد بررسی

Fig. 17. The energy absorption results in the studied models.

ضخامت ورق گاست به ترتیب ۲/۸ درصد و ۷/۸ درصد کاهش می‌یابد. بنابراین می‌توان گفت که به طور کلی در حالت $D/t = 5.0$ اثرگذاری پارامتر ضخامت ورق گاست در رفتار اتصال ورق گاست به ستون CSFT ناچیز می‌باشد.

این در حالی است که در حالت نسبت قطر به ضخامت ۷۰ و مقاومت فشاری بتن ۴۰ مگاپاسکال، افزایش ضخامت ورق گاست به ۱۴ میلی‌متر باعث کاهش $58/3$ درصدی میزان جذب انرژی می‌شود. همچنین با ثابت بودن نسبت قطر به ضخامت برابر ۷۰، ظرفیت جذب انرژی برای مقاومت‌های فشاری بتن ۴۵ و ۵۰ مگاپاسکال به ترتیب ۱۵/۱ درصد و ۱۵/۷ درصد کاهش می‌یابد.

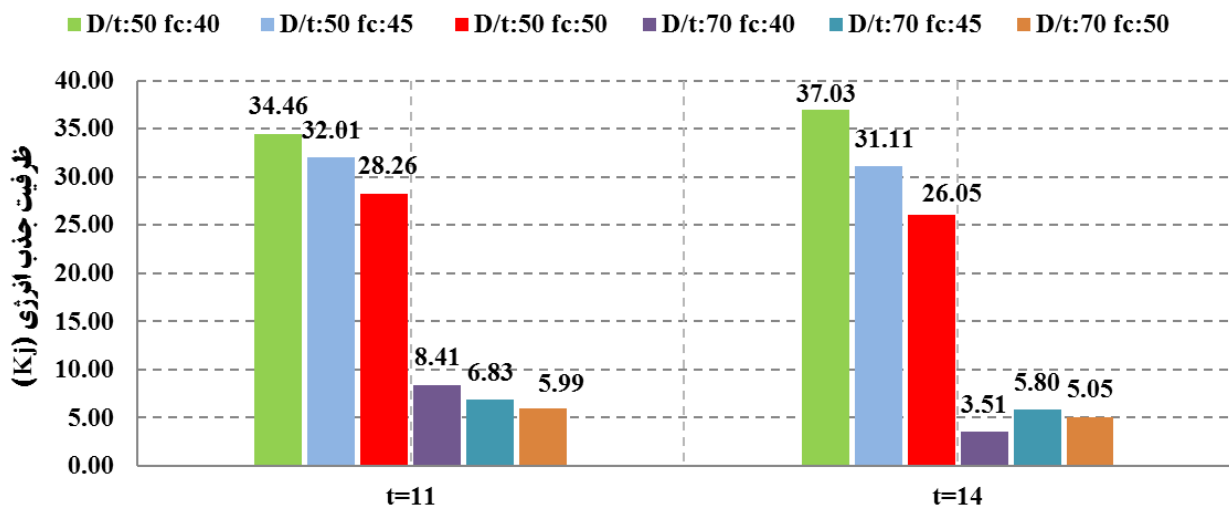
همانطور که مشاهده می‌گردد، تغییر ضخامت ورق گاست از ۱۱ به ۱۴ میلی‌متر بر ظرفیت جذب انرژی مدل‌های با نسبت قطر به ضخامت ۷۰ تاثیرگذاری بیشتری دارد. با توجه به اینکه محل وقوع تسليیم در محدوده اتصال ورق گاست به لوله فولادی است، می‌توان گفت که افزایش ضخامت ورق گاست باعث می‌شود نواحی تسليیم روی ورق گاست کاهش یافته و به جداره لوله فولادی منتقل شود. در نتیجه با افزایش نواحی تسليیم روی عضو CSFT، ظرفیت جذب انرژی مجموعه اتصال کاهش خواهد یافت.

۴ مگاپاسکال و نسبت قطر به ضخامت لوله برابر ۵۰ می‌باشد (مدل Dt50 f40 t14)، در مقایسه با سایر حالات بیشتر شده است. این میزان بیش از ۱۰ برابر میزان جذب انرژی در ضعیف‌ترین حالت می‌باشد که در آن ضخامت ورق اتصال ۱۴ میلی‌متر، مقاومت مشخصه فشاری بتن ۴۰ مگاپاسکال و نسبت قطر به ضخامت لوله برابر ۷۰ در نظر گرفته شده است (مدل Dt70 f40 t14). در ادامه هر یک از متغیرهای در نظر گرفته شده به صورت جداگانه ارزیابی خواهد شد.

۴-۱- بررسی اثر ضخامت ورق گاست

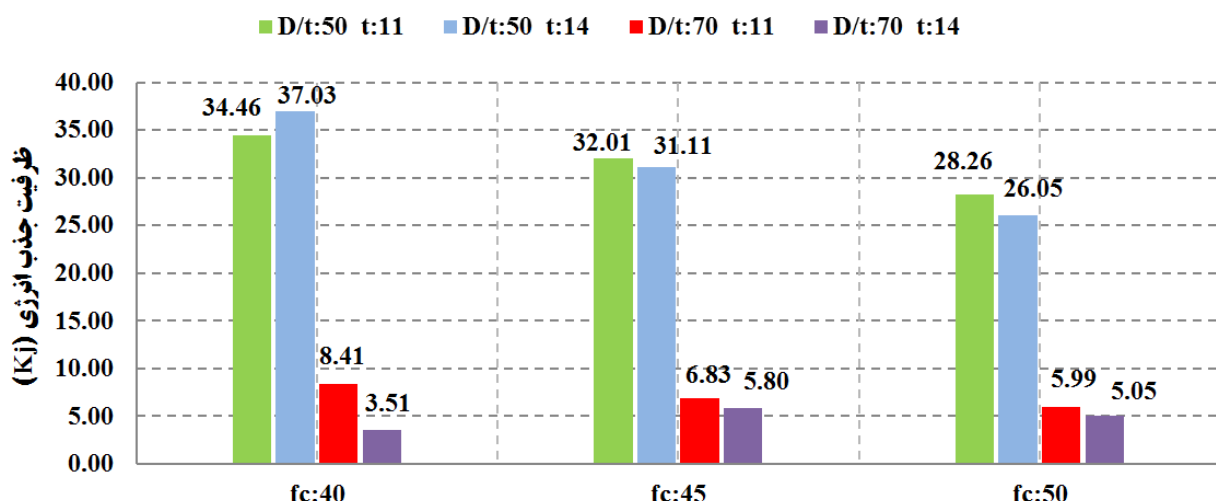
در این بخش به بررسی اثر ضخامت ورق گاست بر نتایج حاصل از تحلیل مدل‌های اجزای محدود اتصال ورق گاست به ستون CFST پرداخته شده است. برای این منظور در نمودار مقایسه‌ای شکل ۱۸، میزان ظرفیت انرژی جذب شده‌ی مدل‌ها برای هر یک از ضخامت‌های ۱۱ و ۱۴ میلی‌متر ارائه شده است.

به طوری که ملاحظه می‌گردد، افزایش ضخامت ورق گاست متصل به ستون CFST با نسبت قطر به ضخامت ۵۰ و مقاومت فشاری بتن ۴۰ مگاپاسکال، منجر به افزایش ظرفیت جذب انرژی به میزان $7/5$ درصد شده است. با ثابت بودن نسبت D/t و تغییر مقاومت فشاری بتن به ۴۵ و ۵۰ مگاپاسکال، میزان جذب انرژی با افزایش



شکل ۱۸. بررسی اثر ضخامت ورق گاست بر میزان جذب انرژی مدل ها

Fig. 18. The effect of gusset plate thickness on the energy absorption of models.

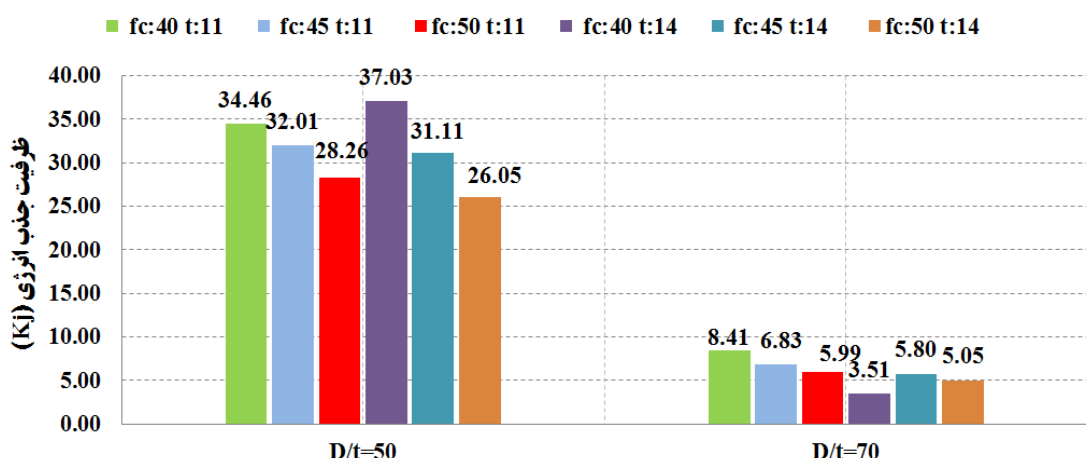


شکل ۱۹. جذب انرژی مربوط به حالت های ۱ تا ۱۲ با هدف مقایسه اثر مقاومت بتن

Fig. 19. Energy absorption of models with the aim of comparing the effect of concrete strength.

می‌گردد، در ستون با نسبت قطر به ضخامت ورق گاست ۱۱ میلی‌متر و بتن با مقاومت فشاری ۵۰ مگاپاسکال، ظرفیت جذب انرژی به میزان ۱۸ درصد نسبت به مقدار متناظر با بتن ۴۰ مگاپاسکال کمتر شده است. همچنین در ستون با نسبت قطر به ضخامت ۵۰، ضخامت ورق گاست ۱۴ میلی‌متر و بتن با مقاومت فشاری ۵۰ مگاپاسکال، جذب انرژی به میزان ۳۰ درصد نسبت به مقدار متناظر با بتن ۴۰ مگاپاسکال کمتر شده است. از سوی

۴-۲- بررسی اثر مقاومت فشاری بتن یکی دیگر از پارامترهایی که در مطالعه‌ی حاضر به آن پرداخته شده است، بررسی اثر مقاومت مشخصه فشاری بتن بر رفتار ستون‌های CFST تحت کشش می‌باشد. همانطور که در شکل ۱۹ مشاهده می‌گردد، با افزایش مقاومت مشخصه فشاری بتن استفاده شده در ستون CSFT، در بیشتر حالات میزان ظرفیت جذب انرژی کاهش یافته است. به طوری که ملاحظه



شکل ۲۰. جذب انرژی مربوط به حالت‌های ۱ تا ۱۲ با هدف مقایسه اثر نسبت قطر به ضخامت ستون فولادی

Fig. 20. Energy absorption of models with the aim of comparing the effect of D/t ratio of the steel column.

برای بررسی این مسئله، در شکل ۲۰ میزان ظرفیت جذب انرژی با هدف بررسی نسبت قطر به ضخامت برای مدل‌هایی که تحت کشش محوری قرار گرفته‌اند، نشان داده شده است. با توجه به این شکل مشاهده می‌شود که برای مدل‌های با ضخامت ورق گاست ۱۱ میلی‌متر و دارای مقاومت فشاری بتن ۴۰، ۴۵ و ۵۰ مگاپاسکال، با افزایش نسبت قطر به ضخامت از ۵۰ به ۷۰، ظرفیت جذب انرژی به ترتیب ۷۶، ۷۹ و ۷۹ درصد کاهش می‌یابد. این تغییر نسبت قطر به ضخامت برای مدل‌های دارای ضخامت ورق گاست ۱۴ میلی‌متر، به ازای مقاومت‌های بتن ذکر شده در بالا به ترتیب باعث کاهش جذب انرژی به میزان ۹۱، ۸۱ و ۸۱ درصد می‌گردد.

همانطور که مشاهده می‌گردد، نسبت قطر به ضخامت ستون فولادی نقش تاثیرگذاری بر میزان ظرفیت جذب انرژی اتصالات شبیه‌سازی شده داشته و با افزایش این نسبت، میزان ظرفیت جذب انرژی به طور قابل ملاحظه‌ای کاهش یافته است. علت این امر، کاهش محدوده تسلیم در جداره لوله فولادی ناشی از افزایش امکان وقوع کمانش موضعی می‌باشد که باعث می‌شود سازه پیش از رسیدن به حداقل ظرفیت خود دچار گسیختگی شود.

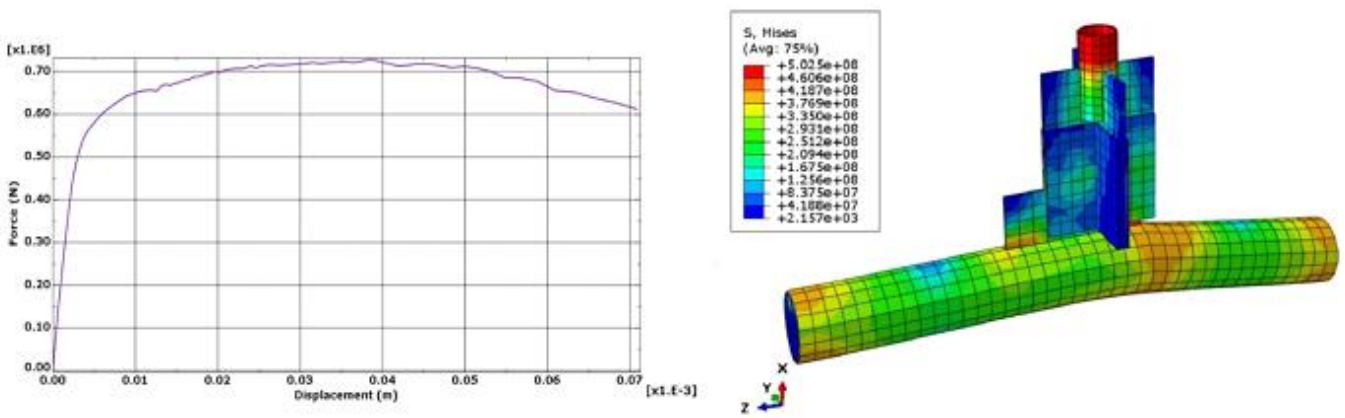
با توجه به این مقدار کاهش قابل توجه، می‌توان به این نتیجه دست یافت که افزایش نسبت قطر به ضخامت لوله فولادی، در مقایسه با سایر پارامترهای مورد بررسی نظیر ضخامت ورق اتصال و مقاومت فشاری بتن موثرتر بوده و توجه به آن در طراحی ستون‌های CSFT ضروری است.

دیگر در ستون با نسبت قطر به ضخامت ۷۰ و ضخامت ورق گاست ۱۱ میلی‌متر و دارای بتن با مقاومت فشاری ۵۰ مگاپاسکال، میزان جذب انرژی به میزان ۲۹ درصد نسبت به مقدار متاظررش با بتن ۴۰ مگاپاسکال کمتر شده است. تنها حالتی که با افزایش مقاومت بتن، ظرفیت جذب انرژی افزایش یافته است مربوط می‌شود به ستون با نسبت قطر به ضخامت ۷۰ و ضخامت ورق گاست ۱۴ میلی‌متر که در آن، با افزایش مقاومت فشاری بتن از ۴۰ مگاپاسکال به ۵۰ مگاپاسکال، میزان جذب انرژی ۴۴ درصد افزایش یافته است.

با توجه به مقادیر اشاره شده، می‌توان به این نتیجه دست یافت که اگر چه پر کردن مقاطع لوله‌ای توخالی با بتن از کمانش موضعی به طرف داخل جداره فولادی جلوگیری نموده و آن را به تعویق می‌اندازد، اما استفاده از بتن با مقاومت فشاری بیشتر همواره منجر به افزایش ظرفیت باربری و میزان جذب انرژی نمی‌شود؛ دلیل این موضوع آن است که افزایش مقاومت فشاری بتن، افزایش ترد شدگی و سختی آن را در پی دارد که این امر موجب می‌شود استهلاک انرژی مجموعه کاهش یابد.

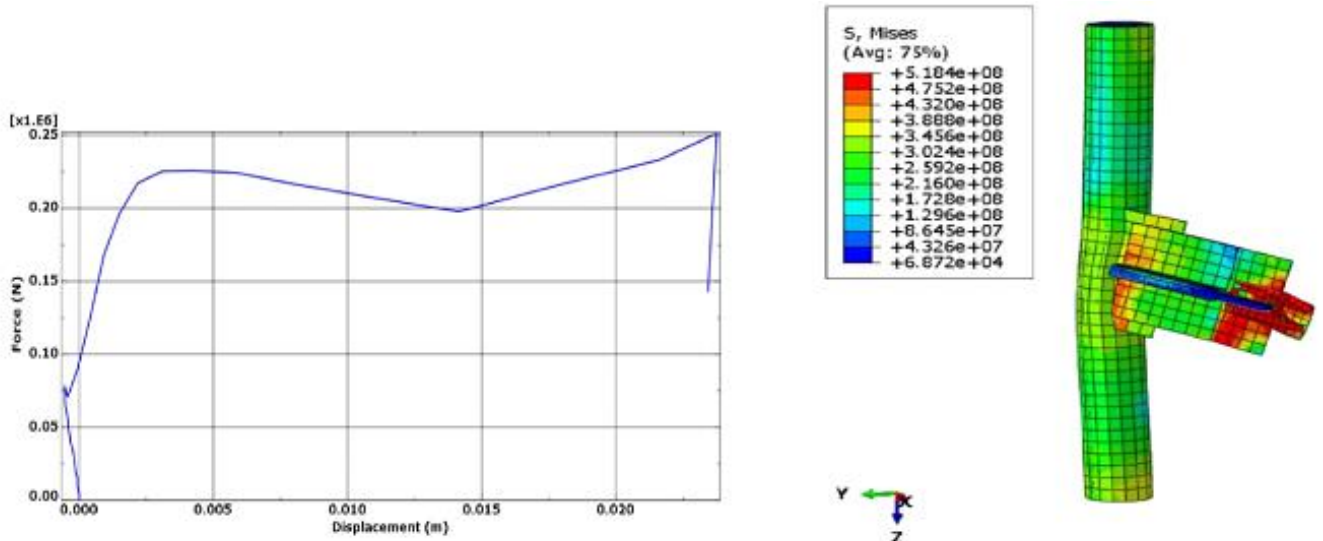
۴-۳- بررسی اثر نسبت قطر به ضخامت لوله فولادی (D/t)

در این قسمت به تحلیل نتایج حاصل از مدل‌های مورد بررسی از جنبه نسبت قطر به ضخامت ستون فولادی (ضریب فشردگی مقاطع) پرداخته شده است که پارامتری مهم در بررسی پدیده کمانش موضعی جداره فولادی می‌باشد.



شکل ۲۱. خروجی‌های مربوط به مدل Dt50 f40 t14 تحت بارگذاری کشنشی برون محوری

Fig. 21. Results of Dt50 f40 t14 model under the eccentric tensile.



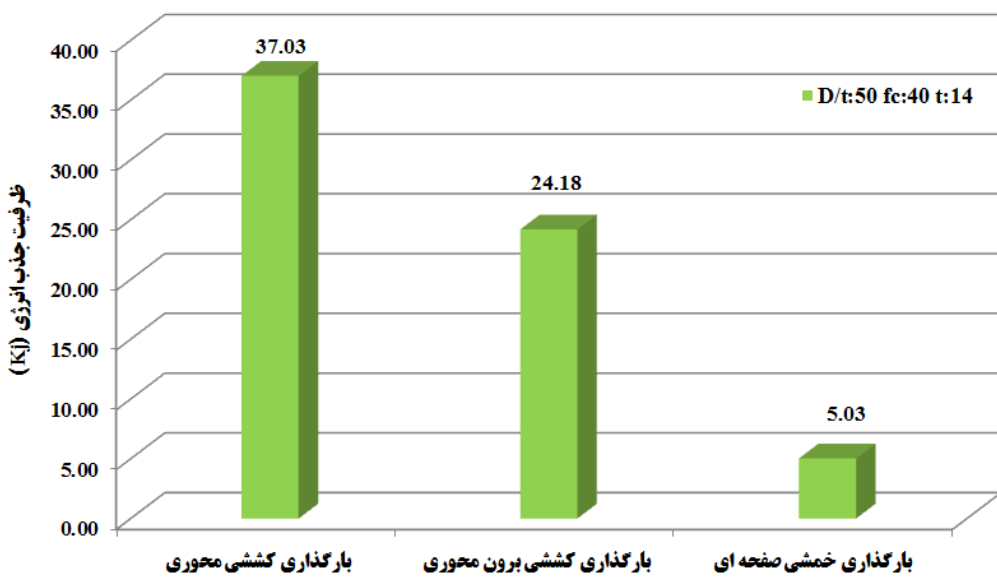
شکل ۲۲. خروجی‌های مربوط به مدل Dt50 f40 t14 تحت بارگذاری خمش صفحه‌ای

Fig. 22. Results of Dt50 f40 t14 model under the in-plane bending.

مقاومت فشاری مشخصه بتن برابر 40 MPa و ضخامت ورق اتصال آن برابر 14 میلی‌متر بوده و بهترین رفتار را از لحاظ میزان ظرفیت جذب انرژی دارا می‌باشد، تحت بارگذاری‌های مذکور قرار گرفته و تحلیل می‌گردد. نتایج در شکل‌های ۲۱ و ۲۲ نشان داده شده است.

به منظور مقایسه نتایج اتصال ورق گاست به ستون CSFT تحت بارگذاری کشنشی محوری با نتایج متناظر در حالت بارگذاری کشنشی برون محور و بارگذاری خمش صفحه‌ای، می‌توان به شکل

۴-۴- بررسی اثر نوع بارگذاری
در بخش‌های قبلی به بررسی رفتار اتصال ورق گاست به ستون CSFT تحت اثر بارگذاری کشنشی محوری پرداخته شد. این در حالیست که در واقعیت احتمال ایجاد بارهای غیرقابل انتظاری نظری بارهای برون محور نیز در محل اتصال ورق گاست وجود دارد. بنابراین ضروری است رفتار مدل‌های مورد بررسی، تحت بارگذاری کشنش برون محور و همچنین خمش صفحه‌ای نیز مورد مطالعه قرار گیرد. به همین دلیل مدل دوم که در آن نسبت قطر به ضخامت برابر 50



شکل ۲۳. مقایسه‌ی اثرگذاری حالت‌های مختلف بارگذاری بر روی اتصالات در ستون‌های CSFT مورد بررسی

Fig. 23. Comparison of the effects of different loadings on the connection behavior in the studied CSFT columns.

تحت بارهای محوری کششی، کششی برونو محور و خمی صفحه‌ای تحلیل گردیدند. مهم‌ترین نتایج تحقیق را می‌توان به طور خلاصه به صورت زیر بیان نمود:

در اتصال ورق گاست به ستون CFST با $D/t = 50$ و مقاومت فشاری بتن ۴۰، ۴۵ و ۵۰ مگاپاسکال، با افزایش ضخامت ورق گاست از ۱۱ به ۱۴ میلی‌متر ظرفیت جذب انرژی به ترتیب $7/5$ درصد افزایش، $2/8$ درصد کاهش و $7/8$ درصد کاهش می‌یابد. این در حالی است که برای $D/t = 20$ با مقاومت‌های فشاری بتن ۴۰، ۴۵ و ۵۰ مگاپاسکال، افزایش ضخامت ورق گاست به ترتیب باعث کاهش $5/8/3$ ، $15/1$ و $15/7$ درصدی میزان جذب انرژی می‌شود. ملاحظه می‌گردد که تغییر ضخامت ورق گاست بر ظرفیت جذب انرژی مدل‌های با نسبت قطر به ضخامت ۷۰ تاثیرگذاری بیشتری دارد.

با افزایش مقاومت فشاری بتن استفاده شده در ستون CSFT، در بیشتر حالات میزان ظرفیت جذب انرژی کاهش یافته است. در ستون با $D/t = 50$ و ضخامت ورق گاست ۱۱ میلی‌متر، با افزایش مقاومت فشاری بتن از ۴۰ به ۵۰ مگاپاسکال، میزان ظرفیت جذب انرژی به میزان ۱۸ درصد کاهش یافته است. در صورتی که اگر ضخامت ورق گاست ۱۴ میلی‌متر گردد (با ثابت بودن سایر پارامترها)، جذب انرژی

۲۳ مراجعه نمود. همانطور که مشاهده می‌گردد، در حالت اعمال بارگذاری کششی برونو محور میزان ظرفیت جذب انرژی برابر $24/18$ کیلوژول شده است که در مقایسه با حالت بارگذاری کششی محوری حدوداً به میزان $5/3$ درصد کاهش یافته است. همچنین در حالت اعمال بارگذاری خمی صفحه‌ای میزان ظرفیت جذب انرژی $5/0/3$ کیلوژول شده است که در مقایسه با حالت بارگذاری کششی محوری حدوداً به میزان $8/6$ درصد کاهش یافته است. با توجه به مقادیر حاصل شده می‌توان به این نتیجه دست یافت که نحوه اعمال بار بر روی اتصالات ستون CSFT نقش تأثیرگذاری در میزان جذب انرژی داشته و می‌بایست در طراحی‌های مربوطه، توجه لازم به این موضوع صورت پذیرد.

۵- نتیجه‌گیری

در این تحقیق با مدل‌سازی اجزای محدود، رفتار اتصال لوله فولادی پر شده با بتن به ورق اتصال مورد توجه قرار گرفت. پارامترهای تأثیرگذار در طراحی این اتصالات شامل ضخامت ورق اتصال، مقاومت مشخصه فشاری بتن، نسبت قطر به ضخامت عضو CFST متعلق به ورق گاست در نظر گرفته شده و مجموعاً ۱۴ مدل اجزای محدود

بسیار مناسبی محسوب شود، اما دقت آن در پیش‌بینی محل شروع ترک‌ها و مسیر خرابی همراه با تقریب خواهد بود. بدیهی است مدل‌سازی کلیه اجزای تشکیل دهنده بتن می‌تواند دقت پیش‌بینی نتایج تحلیل را افزایش داده و علاوه بر آن، الگویی جهت مدل‌سازی بتن حاوی انواع الیاف را نیز فراهم آورد. همچنین در این تحقیق مدل‌سازی تماس بین فولاد و بتن و همچنین تماس اجزای فولادی به یکدیگر با ساده‌سازی‌هایی همراه می‌باشد که ممکن است در تعیین مکانیزم گسیختگی مؤثر باشد. برای افزایش دقت مدل‌سازی تماس فولاد و بتن می‌توان از المان‌های رابط استفاده نموده و مدل‌سازی دقیق‌تر اتصال اجزای فولادی به یکدیگر را می‌توان به کمک بزرگ و جزئیات زیاد، تنها به کمک ابرکامپیوتراها امکان پذیر می‌باشد. لازم به ذکر است که مطالعه پارامتری مذکور را می‌توان با در نظر گرفتن محدوده گستردگی از نسبت قطر به ضخامت لوله و مقاومت مشخصه بتن و با اضافه نمودن پارامترهای مؤثر دیگری چون مشخصات مصالح فولادی و تغییر نوع بارگذاری به بارگذاری چرخه‌ای تکمیل نمود.

منابع

- [1] A. Yadegari, Gh. Pachideh, M. Gholhaki, M. Shiri, Seismic Performance of C-PSW, 2nd international conference on civil engineering, architecture & urban planning elites, London, 2016.
- [2] T. Moradi Shaghaghi, F. Nateghi E, Experimental research of stiffeners effects on the behavior of concrete filled steel tube columns (CFST), Sharif Journal of Civil Engineering, 2.26(2) (2010) 3-10.
- [3] M.H. Yazdan panah, A. Taheri, Evaluation and compare three cross-sections for CFT columns in terms of efficiency and ductility, 2rd International Conference on New Research Findings in Civil Engineering, Architecture and Urban Management, (IFIA), Tehran, (2016).
- [4] F. Xu, J. Wang, J. Chen, Y-h. Wang, Load-transfer mechanism in angle-encased CFST members under axial tension, Engineering Structures, 178 (2019), 162-178.
- [5] F. Xu, Sh-Sh. Song, Zh. Lai, J. Chen, Mechanism of load

به میزان ۳۰ درصد کاهش می‌یابد. از سوی دیگر با تغییر مقاومت فشاری بتن از ۴۰ به ۵۰ مگاپاسکال در ستون با $D/t = 70$ ، میزان جذب انرژی برای ضخامت ورق گاست ۱۱ میلی‌متر با کاهش ۲۹ درصدی و برای ضخامت ورق گاست ۱۴ میلی‌متر با افزایش ۴۴ درصدی همراه می‌باشد. مشاهده می‌گردد که استفاده از بتن با مقاومت فشاری بیشتر همراه منجر به افزایش ظرفیت باربری و میزان جذب انرژی نمی‌شود، اگر چه پر کردن مقاطع لوله‌ای توخالی با بتن از کمانش موضعی به طرف داخل جداره فولادی جلوگیری می‌نماید و کمانش موضعی جداره فولادی را به تعویق می‌اندازد.

میزان ظرفیت جذب انرژی با هدف بررسی نسبت قطر به ضخامت برای مدل‌هایی که تحت کشش محوری قرار گرفته‌اند، نشان داده شده است. مشاهده می‌شود که برای مدل‌های با ضخامت ۱۱ میلی‌متر و دارای مقاومت بتن ۴۰، ۴۵ و ۵۰ مگاپاسکال، با افزایش نسبت D/t از ۵۰ به ۷۰، ظرفیت جذب انرژی به ترتیب ۷۶، ۷۹ و ۸۱ درصد کاهش می‌یابد. این تغییر نسبت قطر به ضخامت برای مدل‌های دارای ضخامت ۱۴ میلی‌متر، به ازای مقاومت‌های بتن ذکر شده در بالا به ترتیب باعث کاهش جذب انرژی به میزان ۹۱، ۸۱ و ۸۱ درصد می‌گردد. مشاهده می‌شود که با افزایش نسبت D/t عضو CFST، میزان ظرفیت جذب انرژی به طور قابل ملاحظه‌ای کاهش یافته است. این امر نشان می‌دهد که پارامتر مذکور در مقایسه با سایر پارامترهای مورد بررسی نظیر ضخامت ورق گاست و مقاومت فشاری بتن از اهمیت بالاتری برخوردار است.

در حالت اعمال بارگذاری کششی برون محور و خمش صفحه‌ای، میزان ظرفیت جذب انرژی در مقایسه با حالت بارگذاری کشش محوری به ترتیب ۵۳ درصد و ۸۶ درصد کاهش یافته است. با توجه به مقدادر حاصل شده می‌توان به این نتیجه دست یافت که نحوه اعمال بار بر روی اتصالات ستون CSFT نقش ثانی‌گذاری در میزان جذب انرژی داشته و می‌بایست در طراحی‌های مربوطه، توجه لازم به این موضوع صورت پذیرد.

اگر چه در این تحقیق از روش‌ها و ایده‌آل‌سازی‌های متداول و معتبر در مدل‌سازی استفاده گردید، با این حال، وجود برخی محدودیت‌ها ممکن است نتایج تحقیق را با تقریب‌هایی مواجه سازد. به عنوان مثال مدل‌سازی بتن به صورت یک ماده همگن و بدون توجه به توزیع سنگدانه و خمیر سیمان که مدلی بسیار مرسوم می‌باشد، ممکن است در پیش‌بینی رفتار کلی سازه روش

- punching shear fracture-based design of longitudinal plate to concrete-filled CHS connections, *Construction and Building Materials*, 156 (2017), 91-106.
- [16] X. Li, L. Zhang, X. Xue, X. Wang, H. Wang, Prediction on ultimate strength of tube-gusset KT-joints stiffened by 1/4 ring plates through experimental and numerical study, *Thin-Walled Structures*, 123 (2018), 409-419.
- [17] H. Chang, J. Xia, Zh. Guo, Ch. Hou, W. Din, F. Qin, Experimental study on the axial compressive strength of vertical inner plate reinforced square hollow section T-joints, *Engineering Structures*, 172 (2018), 131-140.
- [18] Sh-Sh. Song, J. Chen, F. Xu, Mechanical behaviour and design of concrete-filled K and KK CHS connections, *Journal of Constructional Steel Research*, 188 (2022), 107000.
- [19] F. Xu, J. Chen, W.-l. Jin, Experimental investigation of concrete-filled steel tubular longitudinal gusset plate connections, *Journal of Constructional Steel Research*, 124 (2016) 163-172.
- [20] S.S. Mahini, H.R. Ronagh, Web-bonded FRPs for relocation of plastic hinges away from the column face in exterior RC joints, *Composite Structures*, 93(10) (2011) 2460-2472.
- [21] J. B. Mander, M. J. N. Priestley, R. Park, Theoretical stress-strain model for confined concrete. *J. Struct. Eng.*, 114(8) (1988), 1804–1826.
- [22] F. E. Richart, A. Brandtzaeg, R. L. Brown, A study of the failure of concrete under combined compressive stresses Bull. 185, Univ. of Illinois Engineering Experimental Station, Champaign, Ill, (1928).
- [23] H-T. Hu, Ch-Sh. Huang, M-H. Wu, Y-M. Wu, Nonlinear Analysis of Axially Loaded Concrete-Filled Tube Columns with Confinement Effect, *J. Struct. Eng.*, 129 (2003), 1322-1329.
- [24] L. P. Saenz, Discussion of ‘Equation for the stress-strain curve of concrete’ by P. Desayi, and S. Krishnan. *ACI J.*, 61 (1964), 1229–1235.
- [25] H.-T. Hu, W. C. Schnobrich, Constitutive modeling of concrete by using nonassociated plasticity. *J. Mater. Civ. Eng.*, 1(4) (1989), 199–216.
- introduction and transfer within steel-encased CFST members with shear connections, *Engineering Structures*, 242 (2021), 112576.
- [6] Gh. Pachideh, M. Gholhaki, A. Moshtagh, An Experimental Study on Cyclic Performance of the Geometrically Prismatic Concrete-Filled Double Skin Steel Tubular (CFDST) Columns, *Iranian Journal of Science and Technology, Transactions of Civil Engineering*, 45 (2021), 629–638.
- [7] Gh. Pachideh, M. Gholhaki, A. Moshtagh, Impact of Temperature Rise on the Seismic Performance of Concrete-Filled Double Skin Steel Columns with Prismatic Geometry, *Journal of Testing and Evaluation* 49 (4) (2020), 2800-2815.
- [8] M. Ranjbari, K. Abedi, Investigate the behavior of CFT steel columns reinforced with stiffeners and made of high-strength fire-resistant concrete, *8th National Congress of Civil Engineering*, (2014).
- [9] R. Feng, B. Young, Tests of concrete-filled stainless steel tubular T-joints, *Journal of Constructional Steel Research*, 64(11) (2008) 1283-1293.
- [10] R. Feng, B. Young, Behaviour of concrete-filled stainless steel tubular X-joints subjected to compression, *Thin-Walled Structures*, 47(4) (2009) 365-374.
- [11] R. Feng, B. Young, Design of Concrete-Filled Stainless Steel Tubular Connections, *Advances in Structural Engineering*, 13(3) (2010) 471-492.
- [12] Y. Sakai, T. Hosaka, A. Isoe, A. Ichikawa, K. Mitsuki, Experiments on concrete filled and reinforced tubular K-joints of truss girder, *Journal of Constructional Steel Research*, 60(3) (2004) 683-699.
- [13] S.R. Mir ghaderi, Y. Balazadeh, Investigation the connection of the beam to the concrete filled tube by the mid plates, *3rd National Conference on Retrofitting*, Tabriz, (2008).
- [14] J. Chen, J.-h. Zhu, F. Xu, and W. Xue, 02.05: Design of concrete-filled steel tubular longitudinal gusset plate connections, *ce/papers*, 1 (2017): 471-478.
- [15] F. Xu, J. Chen, T-M. Chan, Numerical analysis and

چگونه به این مقاله ارجاع دهیم

M. Ebrahimnejad, A. Razi, P. Arezoumand Omidi, Numerical investigation of effective parameters on the behavior of concrete-filled steel tubular gusset plate connections , Amirkabir J. Civil Eng., 55(3) (2023) 701-722.

DOI: [10.22060/ceej.2023.20837.7545](https://doi.org/10.22060/ceej.2023.20837.7545)



